

操縱性 指數에 依한 衝突回避 動作의 量的 把握에 関한 研究

尹 点 東

A Study on the Quantitative Analysis of a Ship's Collision Avoiding Action by using the Maneuvering Indices

Yun Jumdong

Abstract	次回刊 論文 要旨
記號說明	次回刊 記號 說明
I. 緒論	1. “操縱性” 規定
II. 理論的考察	2. 試験 方法 與 結果
1. 運動方程式에 對한 考察	3. 操縱性指數 K 及 T 的 計算
2. 船舶의 操舵角周波數에 對한 檢討	4. 理論的計算
3. 衝突回避動作에 對한 操縱性指數에 適用	5. 衝突回避動作의 數值計算
III. 實船에 依한 Z試驗 による 操縱性指數算出	6. 試験結果에 對한 考察
	7. 結論
	194 論文 教科書에 對한 説明文

Abstract

The Maneuvering Indices of a ship are the values that decide the quantity of her motion in turning when her rudder is turned over to an angle to the starboard or the port.

They consist of two kinds of indices, one of which is called index K and the other, index T . Index K decides a ship's turning ability and index T does the length of time delay of a normal turning motion after her rudder has finished the turn of an ordered rudder. Generally, the values of the indices are calculated through some mathematic formulas with figures of her heading degrees recorded at a fixed time intervals during her Z test.

The values of the same kind index of a ship appear differently according to the ship's speed.

trim, rudder angle and loaded condition, etc.

In this paper, the author analyzed all the mathematic formulas required to calculate the values of the indices in their forming process and examined them from the point of mathematics and dynamics and also actually figured out the values of maneuvering indices of the M. S. "HANBADA", the training ship of Korea Merchant Marine College through her Z test.

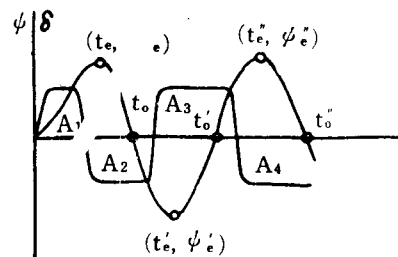
The author supposed a case in which two same typed ships as the "HANBADA" in size, shape and conditions were approaching each other in meeting end on situation and each ship turned her rudder hard over to the starboard respectively when they approached to the distance of 3 times as long as the ship's length.

The author worked out mathematic formulas calculating forward and transverse ship's motions within the above mentioned situation for the quantitative analysis of the collision avoiding action to certify whether they are in collision status or not.

Applying the calculated values of the maneuvering indices of the "HANBADA" to the motion calculating formulas, the author found out the two ships were passing over each other with the clearing distance of 39 m between their port quarters. With the above mentioned examinations and explanations, the author demonstrated that a ship's motion in any collision avoiding action can be shown with quantities of time and distance within reliable limit.

記 號 説 明

M : 船體質量	B : 全幅
M_s, M_e : 附加質量	t_c : 轉舵後衝突이 일어날 때까지의 時間
u : x 軸方向速度	V : 船速
v : y 軸方向速度	t : 秒單位의 經過時開
I : Z 軸에 對한 慣性能率	S, h : 船首方位
i : 附加慣性能率	δ_r : 舵角誤差
ϕ : 角變位量	D : Depth Moulded
N : 旋回moment	
K : 旋回性指數	
T : 追從性指數	
δ : 舵角	
t_1 : 一定舵角을 잡는데 要하는 時開	
ω : 舵角周波數	
$A_{(\omega)}$: 振幅比	
$\phi_{(\omega)}$: 位相角	
L : 船體의 全長	



$A_1, \sim A_4$: δ 曲線과 time軸에 만드는 각 梯形

（二）在國鄉村之融和問題上，則由於中國社會的貧富差距極為嚴重，這種社會不平等的現象，已經引起了廣泛的抗議。

2600
于信

細體子，這種細胞在生物學上具有極強的增殖能力，細胞分裂後會產生細胞子，細胞子又會繼續分裂，形成更多的細胞子。這種細胞在人類的發育過程中起著非常重要的作用，因為它們能夠不斷地增殖，以滿足身體成長和維持正常功能的需求。

船舶相互間의 衝突豫防에 適用하는 데 關한 研究는 거의 없는 狀態이며 있다고 하더라도 別로 實用性이 없는 數式의 誘導뿐인 것 같다.

i) 論文의 目的은 이들 研究結果를 確認하여 이것을 船舶相互間의 衝突豫防에 利用하는 方法을 提案하는데 있다.

本論文에서는 船體의 操縱性能을 表示하는 指數의 算出過程을 力學 및 數學的인 側面에서 考察하여 i) 指數의 算出式의 理論的인 妥當性을 가졌는지 確認하였고 ii) 指數를 利用하여 2 艉舶의 서로 마주보며 航走中 規則에 따른 回避動作을 取하였을 때 생기는 船體의 前進方向 및 橫方向의 移動距離를 算出하는 數式을 만들었다. 韓國海洋大學 練習船 “한바다”호를 利用하여 實船試驗을 行하고 操縱性指數를 算出하였으며 위에서 얻은 操縱性指數를 移動距離를 算出하는 數式에 代入하고 衝突誘發與否를 判別하는 數值計算을 行하여 船體運動을 量的으로 把握할 수 있음을 表示하였다

II. 理論的인 考察

1. 運動方程式에 關한 考察

$$\begin{aligned} (M+M_x)\dot{u} &= (M+M_y)\psi v + X \\ (M+M_y)\dot{v} &= -(M+M_x)\psi u + Y \\ (I_z+i_z)\dot{\psi} &= N \end{aligned} \quad \left. \begin{array}{l} (1) \\ (2) \end{array} \right\} \quad (1)$$

操船에 隨伴하여 생기는 前進力의 變動은 通常의 操船에서는 적은 것은 아니지만 그림 2에서 볼수 있는바와 같이 u 의 變化는 正橫方向의 힘 및 回頭 Moment를 誘發하지 아니하므로 操船運動에 關與하는 程度는 二次的^{(2) (3)}인 것으로 볼수 있다고 생각된다.

따라서 둘째 및 세째式을 無次元化하여 船體運動에 關한 微分方程式을 만들면 다음과 같다.

$$T_1 T_2 \frac{d^2\psi}{dt^2} + (T_1 + T_2) \frac{d\psi}{dt} + \psi = K \cdot \delta + KT_3 \frac{d\delta}{dt} \quad (2)$$

(2) 式을 Laplace 變換하여 傳達函數를 求하면

$$\frac{\dot{\psi}(s)}{\delta(s)} = \frac{K(1+T_3s)}{(1+T_1s)(1+T_2s)} \quad (3) \quad 단, 初期值는 모두 零$$

$$(3) 式을 $|\omega|$ 가 적은 範圍에서 近似化하면 $\frac{\dot{\psi}(s)}{\delta(s)} = \frac{K}{1+Ts} \quad (4)$$$

로 되고, $T = T_1 + T_2 - T_3$ 가 된다. 따라서 運動方程式은

$$T \frac{d\psi}{dt} + \psi = K\delta \quad (5) \quad 로 表示할 수 있다.$$

式(5)에서 보는바와 같이 K 와 T 는 船體運動을 決定하는 要素로 된다. K 는 一定舵角을 줄

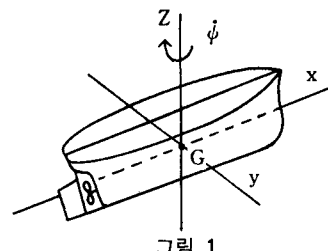


그림 1

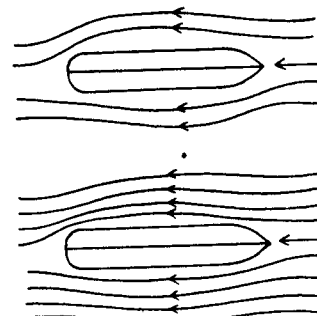


그림 2

때 회전의 속도와 크기는决定하는 要素은 旋回性能과 早急성 T 標準을 超越하는 後輪轉向을 通過하는 회전방향을決定하는 要素은 회전방향을

操舵運動²⁾ 大別整理

(6) 式의 각 항에 대하여 (5)式에서 $\psi(t)$ 를 대체해 보면,
 $0 \leq t \leq T$ 일 때에는

$$\hat{\psi}(t) = \frac{K \cdot \hat{\phi}_0}{t} + \left[\frac{t^2}{\phi_0} - Tt + T \left(1 - e^{-\frac{t}{T}} \right) \right] \quad \dots \dots \dots \dots \dots \dots \quad (7.4.1)$$

(t < t₀) 때에는

$$\hat{\phi}^*(C) = K \cdot \delta_C \left[t + \left(T + \frac{t}{2} \right) - \frac{T}{\delta_C} e^{-\frac{t}{\delta_C}} + \frac{1}{4} \mu^2 e^{-\frac{t}{\delta_C}} \right] \quad \text{for } C = 1, 2, \dots, 8.$$

卷之三

2. 船舶의 操舵角周波數에 對한 檢討

由於上述討論會援用過一般範例，實際操船時，操舵角與螺旋槳轉速運動過程的極度不協調，則應另作討論。

当修改值为 δ 时， $\delta \sin(\alpha)$ 为常数，因此在图 3(a) 中仅入射光的强度变化。

$$A_{\text{in}} \partial_{\phi} \sin(\omega t + \phi_{\text{in}}) = 1945 \text{ rad/s} \cdot 0.001 \text{ rad} \cdot 0.001 \text{ m}^2 \cdot 0.001 \text{ N/m} \cdot 0.001 \text{ m} / 0.001 \text{ m} = 1.945 \text{ rad/s}.$$

叶, $\varphi(t)$ 時間의 経過한 後의 $\varphi(f)$

$$A_{\omega} = \frac{K(1+i\omega T_1)}{(1+i\omega T_1)(1+i\omega T_2)} = K \sqrt{\frac{1}{1+\omega^2(T_1-T_2)} \frac{1+i\omega T_1}{1+i\omega T_2}}.$$

$$\phi_{\infty} = \pm \sqrt{1 - g^2} \frac{K(1 + g\sqrt{T})}{1 + g\sqrt{T}} e^{i\theta} + \text{Im} \left[\frac{\sqrt{1 - g^2}}{1 + g\sqrt{T}} \frac{I_1 + I_2}{T_1 T_2 T_3 T_4} e^{i\theta} + \frac{T_1 + T_2}{T_1 T_2 T_3 T_4} e^{i\theta} \right] + \text{Im} \left[\frac{\sqrt{1 - g^2}}{1 + g\sqrt{T}} \frac{I_1 - I_2}{T_1 T_2 T_3 T_4} e^{i\theta} \right]$$

（二） $\log \lambda$ ， $\log \mu$ ， $\log \nu$ 對應於一基準 Bode 曲線之上實頻譜，理想化時即為各該動力程式（或稱之理想化動力方程譜）對應之值了。

法規類似標準：操縱油門各點轉向力矩之大會降低 Hand-over 與 Hand-over 是 操縱杆
上之 28° 秒回正時間應在 1.5 秒內，要達到此標準。

前方工况船舶在通过船首操舵口时是 Port or Starboard easy, Port or Starboard 是 Hard over, 船舶在船首操舵口时是 Hard over, 船首和船尾的任何操舵角都可以合起来使用, 分别是 10°, 20°, 35° 4. 该分钟数是 35 秒钟 操舵口指前或指向右后, 操舵装置速度是 1.5 度/秒, 在操舵口时间是 28 秒钟而从 Hard over 到 Hard over 之间的时间是 19° 为 35° 操舵口对于时间是此时间的两倍, 即为 38 秒钟, 表示前向, 表示后退, 表示左转

表 1 操舵角 및 角周波數

操舵角	時 間	ω	$\log \omega$
35°	28초	0.11	-2.21
20°	16〃	0.20	-1.61
10°	8〃	0.39	-0.94

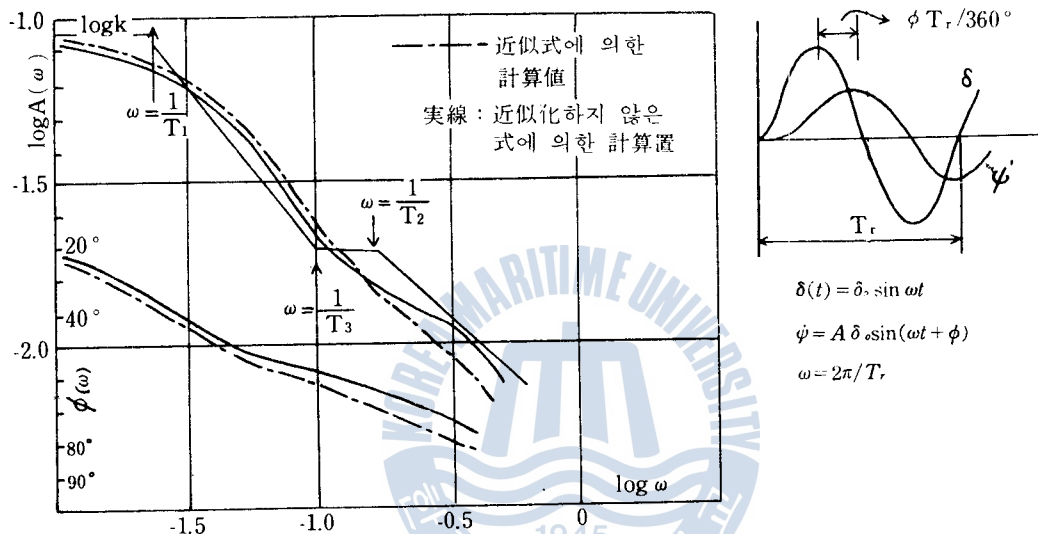
그림 3 正弧操舵에 对한 船體의 應答²⁾

表1의 값은 그림 3의 實線과 鎮線이 完全히一致하는範圍내에 있고 實際操船에 있어서 操縱運動方程式의 近似式을 使用하여도 전혀 지장이 없을것으로 判斷된다.

3. 衝突回避動作에 对한 操縱性指數의 適用

(1) 國際海上衝突豫防規則上의 避航動作檢討¹²⁾

相互 衝突의 危險을 안고 接近하는 船舶들에 取하여야 할 避航動作에 对하여는 現行國際海上衝突豫防規則 第17條부터 第24條사이에 規定되어 있지만 規則條文의 精神은 各船이 充分한 時間과 距離를 두고 避航動作에 들어가는 것을 原則으로 하고 있으며 極限狀態에 있어서의 衝突回避動作은 例外로 取扱하고 있다. 또 이들 各條文에서는 避航船이 取하여야 할 具體的인 動作에 对하여는 明白한 言及이 없다.

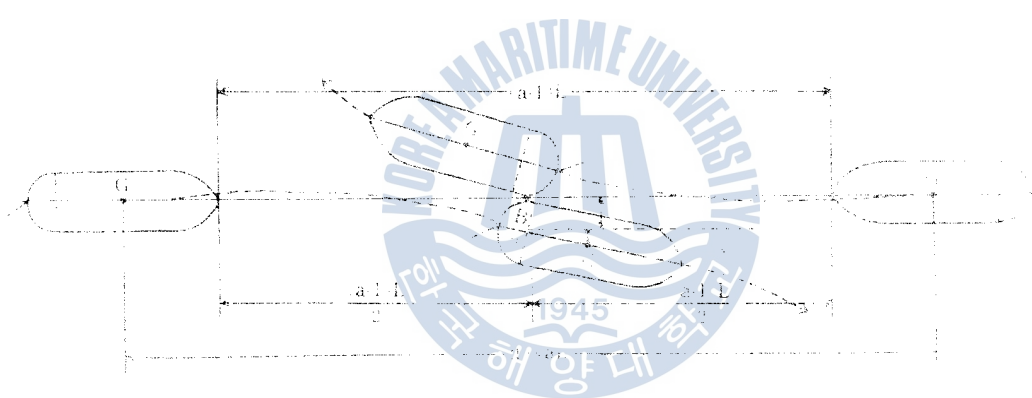
船體의 動作이 차지하는 時間과 距離를 量的으로 分析하려는 本論文에서는 衝突危險을 갖는兩船이 共히 明白한 一定動作을 取하여 좋것을 規則에서 要求하고 또한 操船者의 常識으로 當然히 그렇게 回避動作을 取할수 밖에 다른 道理가 없는것으로 期待되는 解釋을 내릴수 있는 規

但這兩種方法都沒有達到我們的標準。它們都沒有考慮到規則中要求的每一個動作，並且在某些情況下，它們還會錯過一些動作。因此，我們需要進一步研究，以確定如何才能更準確地識別出每個動作。

上述兩件證據被確定為證物，存於檢驗室第19號櫃子，檢驗員：Meetin，驗出日期：西曆1998年1月2日，檢驗員：林明輝，檢驗動作：同一時間、現地取樣，簽名：林明輝。

三、(二) 廉價的、易燃的、易爆的

◎文書 標題8. 魏世祖之崩遷廟號及尊稱(附註) 亂世平定 朝鮮北侵近勢等事相合體例，將



二〇一

서로 바운딩을兩船의 側體를이 $L/2$ 의 $aL/2$ 의 距離를 保持地保持하니 相對於船初起動시 $L/2$ 는 starboard航行이 右側面航行이라고 設定하자. 이때 바운딩衝突是 邊壁上開船대비 左側面航行中 $aL/2$ 떨어지는 要素衝突地點叫做 針突이다. 本章轉航後 衝突의 離近碰撞은 要讲述的 時刻 $t=0$ 에 대비한 側體維持 $L/2$ 成立時刻.

$$\int_{t_0}^{t_0+T} V \cos \theta dt = aL/2 + (L/2 - B/2) \cos \theta \quad \dots \dots \dots \dots \dots \dots \dots \quad (13)$$

在於此處，角速度是 $\cos(\theta) \hat{\mathbf{i}} + \sin(\theta) \hat{\mathbf{j}}$ 。我們已經知道，對於

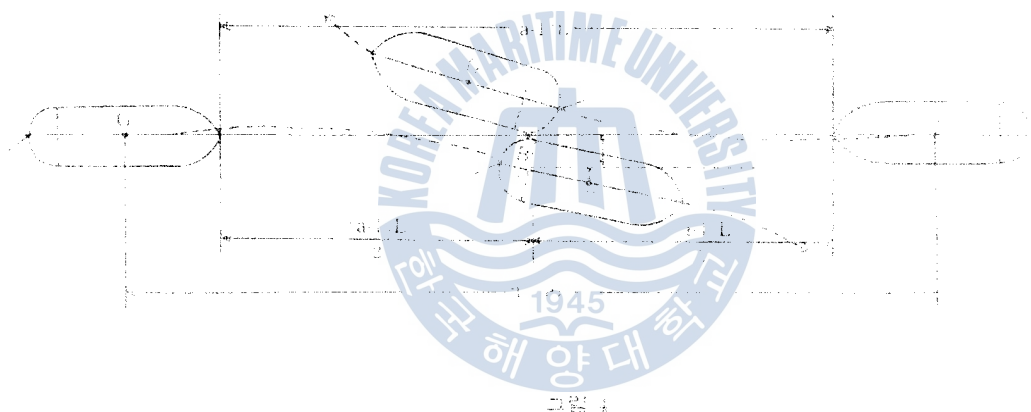
$$(10\pi^2 \delta A)^{1/4} t^{\epsilon} = (n+1) L^{1/2} - B/2$$

前半部은 대체로 평온한 흐름이나, 그에 대한 대답은 끊임없이 활동적인 흐름으로 전환된다. 특히 제 2회 운동은 그 자체로 활동적인 흐름을 확장하는 한편, 그에 대한 대답은 대체로 평온한 흐름으로 전환된다.

在這種情況下，當地方法院會將調查報告送交檢察機關，由檢察機關決定是否提起訴訟。

卷之三十一

在武昌流傳的《東坡全集》開篇序言中，明以蘇軾為首的文人學者，對蘇軾被貶後的詩作稱贊有加，對當時的文壇風氣也頗為讚嘆。



卷之三

서로 바꾸면서兩船對駕鐵鏈이 爲의 《船對駕》也。此船頭所用的駕船頭初認碑...
starboard하여 有同頭駕船頭也。又雖駕船頭衝突發聲號令是駕船頭也。每當船頭
 $aL/2$ 에 있는 끝이 船頭地點이 船頭이다。不論轉舵後衝突發聲號令要轉去船頭時
則由船頭駕船頭轉到船頭駕船頭。

解得 $\sin \varphi = \pm \frac{1}{2}$, $\cos \varphi = \pm \frac{\sqrt{3}}{2}$. 故 α 可能的取值为 $\pm 30^\circ$.

$$(10) \text{ 式에서 } \left\{ Vt \right\}_0^L = (d+1)L/2 + B_1/2$$

(11) $\pi^1_{\text{red}} \lambda_1$

(13)式에서 $x \leq 1$ 이면衝突이 있고 $x > 1$ 이면衝突은 일어나지 아니한다.

$$\psi(t) = K \delta_o \left\{ t - (T + t_1/2) + e^{-\frac{t}{T}} (e^{\frac{t_1}{T}} - 1)^{T^2/t_1} \right\} \text{으로 } o] \text{ 것을 } \psi(t)$$

(13) 式에 代入하면 다음과 같다.

$$\int_0^{t_c} V K \delta_o \left\{ t - (T + t_1/2) + e^{-\frac{t}{T}} (e^{\frac{t_1}{T}} - 1) T^2 / t_1 \right\} dt - (L/2 - B/2) \quad \psi = B/2x$$

위의 積分項만을 處理하여 보면,

$$VK\delta_o \int_0^{t_c} \left\{ t - (T + t_1/2) + e^{-\frac{t}{T}} (e^{\frac{t_1}{T}} - 1)^{T^2}/t_1 \right\} dt$$

$$= VK\delta_o \left[t^2/2 - (T + t_1/2)t - T^3/t_1 \cdot e^{-\frac{t}{T}} (e^{\frac{t_1}{T}} - 1) \right]_0^{t_c}$$

$$= VK\delta_o \left\{ t_c^2/2 - (T + t_1/2)t_c - T^3/t_1 \cdot e^{-\frac{t_c}{T}} (e^{\frac{t_1}{T}} - 1) + T^3/t_1 \cdot (e^{-\frac{t_1}{T}} - 1) \right\} \text{가} \uparrow \text{된다.}$$

$$\left. \begin{aligned} C_1 &= V \cdot K \cdot \delta_o \left[t_c^2 / 2 - (T + t_1 / 2) t_c - T^3 / t_1 e^{-\frac{t_c}{T}} (e^{-\frac{t_1}{T}} - 1) + T^3 / t_1 (e^{-\frac{t_1}{T}} - 1) \right] \\ C_2 &= \frac{L - B}{2} \cdot \phi \end{aligned} \right\} \dots \dots \dots (14)$$

라고 하면

(15) 式에서 $x > 1^{\circ}$ 면 충돌은 일어나지 아니한다.

(3) 限界接近距離의 設定

船舶이 正常旋回로 들어갈때까지 必要로 하는 時間은 追從性指數 T 와 操舵에 要하는 時間의 半인 $t_1/2$ 을 合한 $T+t_1/2^{(5)(6)}$ 의 時間이어야 하므로, 이동안 船舶이 前進하는 距離는 $V(T+t_1/2)$ 미터가 된다.

兩船이 正常旋回로 들어갈 때까지의 前方進出距離는 서로 마주보며 衝突의 危險을 안고 接近하는 船舶에 있어서는 매우 重要한 意味를 가지며 “한바다”號의 境遇를 例로 들어 前方進出距離를 計算하여 보면 $V(T+t_1/2) \div 7 \times 13 = 91m$, 約 1L의 距離가 된다. 따라서 이러한 境遇에 兩船이 2L의 距離를 두고 衝突回避動作을 取하면 衝突은 避할 수 없게 된다.

操縱性指數의 依存衝突距離動作과 最大操舵角의 関係
를 接近距離와 航向舵角設置, 取得作業, 以及 船舶間의 衝突事故 등, 挑出 本試驗項目를
다. 本試驗에 本 論文에 本 船舶間의 限界接近距離는 3L₀로 하여 計算한 值에 本 船舶을 本 船舶을

IV. 實船에 의한 Z試驗 및 操縱性指數算出

“한바다”號의 實船試驗은 1976年 1月 21일 釜山 바다에서 行駛하였고 地形의 特殊性
과 本海域의 魚群, 魚網分布狀態等의 制約를 考慮하여 不得히 右舷一向横風을 本風에 試驗
路線를 留下한다.

1. “한바다”號의 要目 및 條件

(1) 要目(表 2와 같음)

(表 2)

L.O.A	B. Md	D. Md	F. L. d	Disp (F)	G/T	C.	M.E.	Speed	R.P.M (4/4)	A/Lnd
98m	14.5	9.5	5.1	4,230噸	3492	0.576	3,800H.P.	16.6	230	1/49.3

(2) 本船狀態及 氣象條件(表3과 같음)

(表 3)

Fd	Ad	Disp	視程	風向	風力	海面狀態
3-05m	5-60	3450噸	良好	240~250°	4 (km/sec)	4

2. 試驗方法 및 結果

(1) 試驗方法¹³⁾

本試驗을 위하여 “한바다”號에서 2名의 教育敎官과 4名의 實習生을 選拔하였다. 實習生 4名中,
1名은 Stop Watch를 가지고 Zero time 으로 부터 5秒간격으로 時間을 計測하였으며, 2名은
各 time에 마추어 비단 마련된 用紙에 船首方位을 記錄하였으며, 1名은 Course recorder에
配置하였다. 敎官 2名中 1名은 船首方位와 操舵角을 比較하여 δ_0 와 ψ 角이 잘아질때 信號를 하면서
主要時點의 ψ , δ_0 및 time을 記錄하였으며, 1名은 信號에 따라서 操舵命令을 하도록 하였다.
各組의 team work가 잘 되는지 事前練習을 實施한 後에 指揮者인 筆者の總體의 監視
下에 最大操舵¹⁴⁾角速度로 本格적인 試驗을 實施하였다.

(2) 試驗結果

(a) 10° Z test(Speed: 13kt 相對風向: 右舷 40~50° Co.: 200° 右舷처음)

(10)

韓國海洋大學 大學院 論文集 第 1 輯

(表 4)

$t:$	5	10	15	20	25	30	35	40	45	50	55	60	65	70
S. h:		201	202	204	206	208	210	213	213	212	210	206	204	200
$t:$	75	80	85	90	95	100	105	110	115	120	125	130	135	140
S. h:	197.5	195	192	189	186	185	185	186	188	190	191	193	195	198
$t:$	145	150	155	160	165	170	175	180	185	190	195	200	203	完了
S. h:	200	202	204	208	210.5	212	213	212	208	206	205	202	200	
主要時點	t_1	t_2	t_3	t_4	t_5	t_6	t_7	t_8	t_9	t_{10}	t_{11}	t_{12}	t_{13}	
時量	5	35	42.5	45	70	88	98	102.5	145	164	174	175	203	

(위의 數值에 對하여는 그림 10 參照)

(b) $20^\circ Z$ test(諸般條件 10° test 때와 같음 Co. 180° 左舷처음)

(表 5)

$t:$	5	10	15	20	25	30	35	40	45	50	55	60	65	70
S. h:	180	178	172	168	165	159	155	150	151	153	156	160	164	168
$t:$	75	80	85	90	95	100	105	110	115	120	125	130	135	140
S. h:	173	177	182	186	191	195	200	203	206	207	203	200	196	190
$t:$	145	150	155	160	165	170	175	180	185	190	195	200	205	210
S. h:	185	179	172	167	161	155	151	150	151	154	157	161	165	170
$t:$	215	220	222	完了	主要時點	t_1	t_2	t_3	t_4	t_5	t_6	t_7	t_8	
S. h:	174	178	200		時量	9	29	36	40	43	82.5	105	112	
	t_9	t_{10}	t_{11}	t_{12}	t_{13}	t_{14}	t_{15}	t_{16}						
	119	120	149.5	166	173	180	180	222						

(c). $35^\circ Z$ test(諸般條件 10° 때와 같음 Co. 180° 右舷처음)

(表 6)

$t:$	5	10	15	20	25	30	35	40	45	50	55	60	65	70
S. h:	180	181	185	192	199	206	213	220	226	229	230	227	221	215
$t:$	75	80	85	90	95	100	105	110	115	120	125	130	135	140
S. h:	206	199	190	183	177	167	162	153	146	139	133	130	129	130
$t:$	145	150	155	160	165	170	175	180	185	190	195	200	205	210
S. h:	135	139	146	152	160	165	172	177	184	189	195	200	206	211
$t:$	215	220	225	230	235	240	245	250	255	260	265	270	完了	
S. h:	216	221	226	230	226	222	216	209	202	194	186	179		
主要時點	t_1	t_2	t_3	t_4	t_5	t_6	t_7	t_8	t_9	t_{10}	t_{11}	t_{12}	t_{13}	t_{14}
時量	13	36	48	55	59	92	115	127	135	138	181	214	226	230
														269

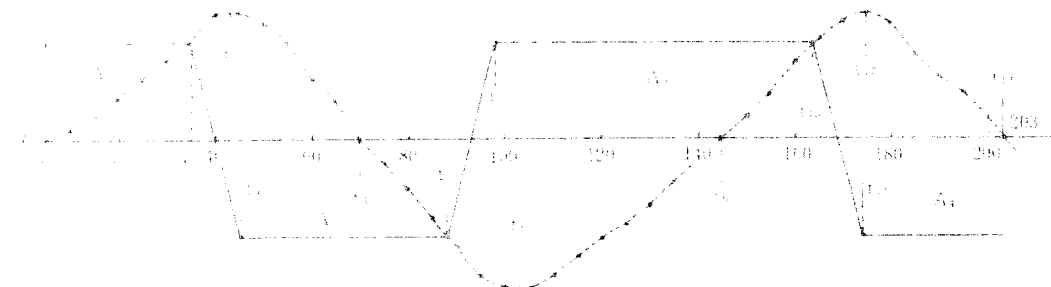


그림 5-10 Z試験

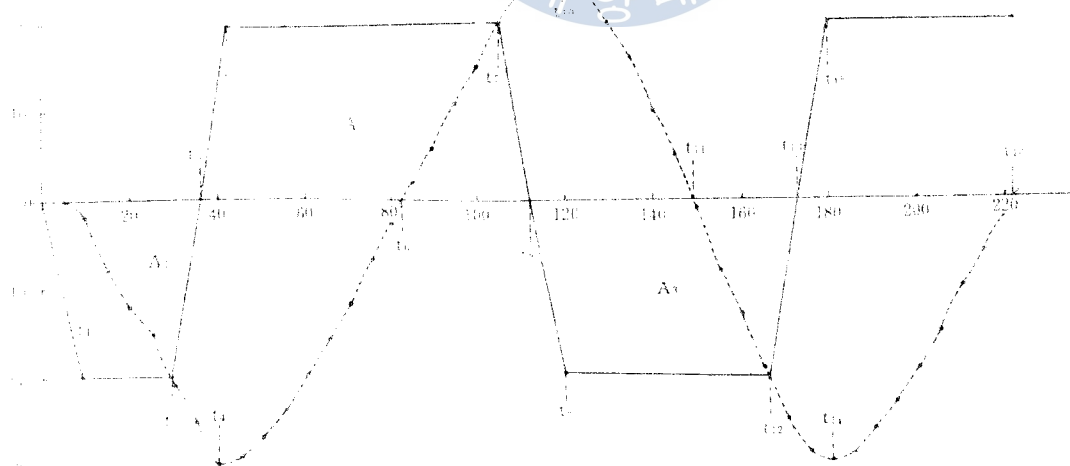
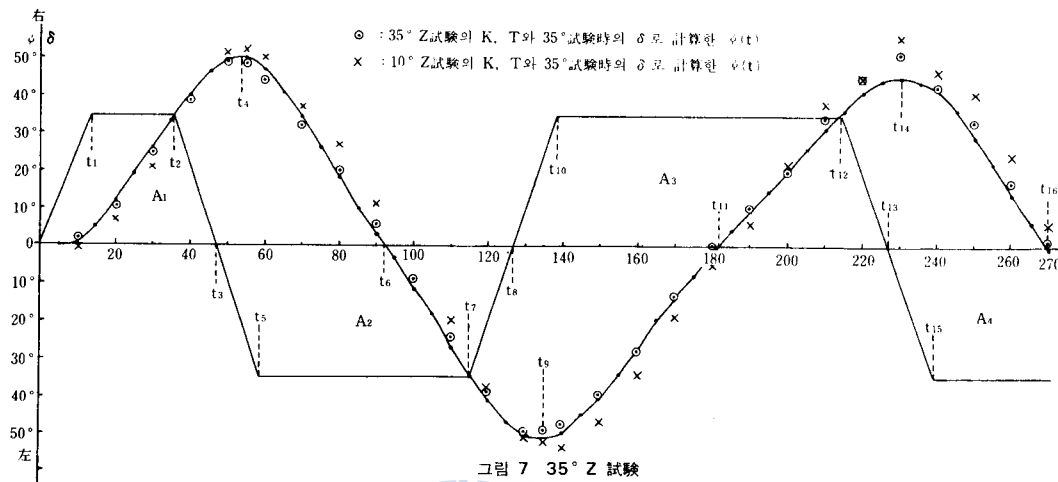


그림 6-20 Z試験



3. 旋回性指數 K 及 追從性指數 T_0 的數值計算

(1) $10^\circ Z$ test ($A_1 \sim A^3$, $A_4 \sim A''$, 等의 面積은 梯形의 面積計算 方法에 의하여 算出함)

$$A_e = \frac{40+30}{2} \times 10 - \frac{5 \times 5}{2} = 337.5$$

$$A' = A_1 - \frac{53+43}{2} \times 10 + \frac{9.5+4.5}{2} \times 10 = -60$$

$$A''_e = A_1 - A_2 + \frac{76+66}{2} \times 10 - \frac{6+1}{2} \times 10 = 545$$

$$A_o = A_1 - \frac{30 + 25}{2} \times 10 = 75$$

$$A' = A_1 - A_2 + \frac{52 + 47}{2} \times 10 = 365$$

$$A''_o = A_1 - A_2 + A_3 - \frac{34 + 29}{2} \times 10 = 265$$

$$13 = K \cdot \delta_r \times 42.5 + 337.5K \quad \dots \dots \dots \quad (1)$$

$$-15 = K \cdot \delta_r \times 102.5 - 60K \quad \dots \dots \dots \quad (8)$$

$$13 = K \cdot \delta_r \times 175 + 545K \dots \dots \dots \quad (8)$$

② 및 ③式에서 $K_1 \approx 0.06$, $\delta \approx -1.9$. ①式에서 $K \approx 0.23$.

$$\therefore K \approx 0.045, \delta \approx -1.0$$

$$T_2 \left(\frac{4.5}{10} \right) = K \cdot \delta_r \times 145 + 365K \dots \dots \dots \quad (5)$$

$$T_z \left(\frac{8}{10} \right) = K \cdot \delta_r \times 203 + 265K \quad \text{.....(1)}$$

1, 2, 3, 4 式에서 $T_z \approx 10$

$$\therefore K \approx 0.045/\text{sec}$$

$$T \approx 10\text{ sec}$$

(2) 20° Z test

$$A_1 = -\frac{12+35+20}{2} \times 20 + \frac{4 \times 13}{2} = -534$$

$$A'_1 = -A_1 + \frac{76+62}{2} \times 20 - \frac{8+1}{2} \times 20 = 730$$

$$A''_1 = -A_1 + A_1 + \frac{61+47}{2} \times 20 + \frac{7 \times 20}{2} = -190$$

$$A_2 = -A_1 + \frac{46.5+39.5}{2} \times 20 = 300$$

$$A'_2 = -A_1 + A_1 - \frac{49+42}{2} \times 20 = 140$$

$$A''_2 = -A_1 + A_1 - A_2 + \frac{49+42}{2} \times 20 = 650$$

$$-30 = K \cdot \delta_r \times 40 - 534K \quad \text{.....(1)}$$

$$27 = K \cdot \delta_r \times 120 + 730K \quad \text{.....(2)}$$

$$-30 = K \cdot \delta_r \times 180 - 190K \quad \text{.....(3)}$$

10° 때와 같은 方法으로 $K \approx 0.055$, $\delta_r \approx -2$

$$T_z \left(\frac{8}{10} \right) = K \cdot \delta_r \times 82.5 + 300K \quad \text{.....(4)}$$

$$-T_z \left(\frac{10}{8} \right) = K \cdot \delta_r \times 149.5 + 140K \quad \text{.....(5)}$$

$$T(1) = K \cdot \delta_r \times 222 + 650K \quad \text{.....(6)}$$

1, 2, 3, 4, 5, 6에서 $T \approx 9$

$$\therefore K \approx 0.055/\text{sec}$$

$$T \approx 9 \text{ sec}$$

(3) 35° Z test

$$A_3 = \frac{48+23}{2} \times 35 - \frac{7 \times 23}{2} = 1162$$

$$A'_3 = A_3 - \frac{79+56}{2} \times 35 + \frac{8 \times 15}{2} = -1060$$

$$A''_3 = A_3 - A_2 + \frac{99+76}{2} \times 35 - \frac{4 \times 9}{2} = 1924.5$$

$$A_4 = A_3 - \frac{44+33}{2} \times 35 = -105$$

$$A' = A_1 - A_2 + \frac{54+43}{2} \times 35 = 577.5$$

$$A''_o = A_1 - A_2 + A_3 + \frac{44+31}{2} \times 35 = 630$$

$$-51 = K \cdot \delta_r \times 135 - 1060K \quad \dots \dots \dots \quad (2)$$

$$45 = K \cdot \delta_r \times 230 + 1924.5K \quad \dots \dots \dots \quad (2)$$

①, ②, ③式에서 $K=0.042$

$$\delta_2 = -2.8$$

④, ⑤, ⑥문에서 $T=6$

$K = 0.042/\text{sec}$

Tanfser

(4) 旋回性指數 K 와 追從性指數 T 의 無次元화表示^{2) 14)} K 및 T 를 각각 $K' = K \times L/V$, $T' = T \times V/L$ 로 하여 無次元화하면 表7과 같다.

表 7

10° Z test				20° Ztest				35° Ztest			
K	T	K'	T'	K	T	K'	T'	K	T	K'	T'
0.045	10	0.66	0.68	0.055	9	0.80	0.61	0.042	6	0.61	0.41

4. $\psi(t)$ 值의 理論的인 計算

試驗에서 얻은 K 및 T 와 實際使用한 舵角 δ 를 가지고 $T \cdot \frac{d\psi}{dt} + \psi = K \cdot \delta$ 式에 의하여 $\psi(t)$ 의 理

論的인 計算을 하면 表 8 및 9와 같이 되다.

(1) $35^\circ Z$ test에서 얻은 K 및 T 와 $35^\circ Z$ 試驗의 $\delta(t)$ 에 의한 計算值

表 8

t (초)	10	20	30	40	50	55	60	70	80	90	100	110	120	130	135
$\psi(t)$ 도	1.5	11	25	38.4	48.7	48	44	32	20	5.7	-9	-24.2	-39	-49.8	-49
t	140	150	160	170	180	190	200	210	220	230	240	250	260	270	
$\psi(t)$	-48	-39.8	-28	-13.3	0	10	20	34	45	51.7	42.1	32.9	17	1.5	

¹ See also the discussion of the relationship between the two concepts in the introduction.

5. 衝突回避動作對駕駛員

表 15 需要表

1996-1997 学年第一学期期中考试

该功能在 8.0 版本的 C++ 语言中被移除。

式(15)에 의하여 표 3-6

1945년 1월 24일 10:00에 30.6倍叶及至 100%航速時 航向動作用取引到 7.2倍叶距離가 30.6倍叶
航速時 100%航速時 7.2倍叶 = 54m를 나타나 轉輪直轉時 航船反對航行直進航行時 航體重
直進航行時 機頭航速 7.2 × 7.5 = 54m를 나타나 轉輪直轉時 航船反對航行直進航行時 航體重
直進航行時 航速離脫航速動中離去 大略 $L/100$ 程度이다. 航速發生 10%時 航體是減緩時 在此
時 10%航速時 30.6 × 10 = 306m를 나타나 航向航速時 quarter turn 航速距離은 306m를 나타
나 한다. 航速發生 10%航速時 30.6 × 10 = 306m를 나타나 航向航速時 quarter turn 航速距離은 306m를 나타
나 한다. 航速發生 10%航速時 30.6 × 10 = 306m를 나타나 航向航速時 quarter turn 航速距離은 306m를 나타
나 한다. 航速發生 10%航速時 30.6 × 10 = 306m를 나타나 航向航速時 quarter turn 航速距離은 306m를 나타
나 한다.

第三課 結論

箱體條件 0. 試驗에 대처한 影響

論的인 計算을 하면서 새롭히 알았다. 35° Z試驗에서 比較的 바람의 影響을 적게 받았던 前半部分에서는 試驗에서 얻은 $\psi(t)$ 값과 試驗結果를 가지고 理論的으로 計算한 $\psi(t)$ 의 값이 잘一致하고 있으나, 바람의 影響을 많이 받았던 後半部分은 이것들이 잘一致하지 아니하고 있다.

그 原因은 試驗中에는 계속하여 船首方位가 變化하므로 風向 및 風速이 一定하드라도 相對風向 및 風速이 계속 하여 바뀌고, 이것들이 δ ,값에 影影을 주어 δ ,를 變化시키고 이것을 不確實하게 하는데 原因이 있다고 判斷하였다. 이러한 點에서는 海潮流의 影響도 마찬 가지라고 생각된다.

따라서 이러한 影響을 最小로 줄이기 위하여는 正船首에서 바람 또는 海潮流를 받도록 試驗針路를 잡아서 이들의 影響이 서로 相殺되도록 試圖하여야 할것이다. 금번의 試驗에서도 이것을 事前에豫想하였으나前述한 여러가지 制約때문에 그렇게 하지 못하였다. 可能하면 風力2以下인 平穩한 날씨에 海潮流의 影響이 적은 조용한 海面을 擇하여 試驗을 實施하는 것이 좋을 것이다.

2. 試驗船의 狀態

금번 實船試驗에서 “한바다”號의 K 값이 筆者가豫想하였던 것보다는 약간 적게 나왔는데 그 것은 1.5m 定度의 Trim by the stern에 原因이 있는 것으로 判斷된다. 길이 100m程度의 船舶에서 1.5m程度의 Trim by the stern은 우리 航海者들이 別로 꺼리지 않는 狀態이나 이런 種類의 試驗을 行할 때에는 可能하면 Even keel 狀態로 하는 것이 좋을 것 같다.

3. 實船操舵角周波數

前進全速으로 航走하면서 操舵手에게 最大舵角速度¹⁶⁾로 操舵를 하도록 命令하고 그에 要하는 時間을 調査하여 본 結果 10° 舵角을 잡는데 5秒, 20° 는 9秒, 35° 는 13秒가 걸렸다. 이들의 操舵速度는 大略 規則¹⁵⁾에 合致되고 있으며 操舵角周波數는 大略 $w_1 \doteq 0.3$, $w_2 \doteq 0.17$, $w_3 \doteq 0.12$ 이므로 $\log w \doteq -1.2$, $\log w_2 \doteq -1.77$, $\log w_3 \doteq -2.12$ 로써 그림 3의 實線과 鎖線이 完全히 一致하는範圍內에 있음을 알 수 있다.

4. 舵角에 對한 舵効率

K 값이 일단 올라갔다가 내려가는 現象은 舵角에 對한 舵効率問題로 舵壓係數¹⁰⁾와 比較檢討하면 合當한 解釋이 可能하다.

V. 結論

以上과 같이 操縱性指數를 船舶間의 衝突回避動作에 適用시키는 方法을 研究檢討한 結果 다음과 같은 結論을 얻었다.

- 同一船이 같은條件下에서 小舵角과 大舵角에 對하여 Z試驗을 行하고 操縱性指數를 算出한 값을 比較하여 보면 旋回性指數 K 값의 變化는 크지 아니하나 追從性指 T 값의 變化는 크다.

따라서 緊急時大舵角의 亂れ로 回避動作의 數值計算은 大舵角에 對한 操縦性試驗을 實施하여 거기서 算出되는 操縦性指數를 利用하는 것이 正確하다.

2. 本方法에 依하여 正確한 操縦性指數가 算出되면 船體의 任何가지 動作에 對하여 이를 응用할 수 있는 數式을 用하여 船體運動에 對한 數值計算을 行할 수 있고 感覺에 의한 撞船을 排除하여 能する.

3. 船舶의 相當한 速力으로 航走하면서 船首方向 橫風을 受む 때에는 通常 船首가 風上側으로 向む다. 一般操船原則은, 俗に 試驗을 通하여 그렇지 않을 수도 있다는 것을 알았다. 이것은 水面上에 露出된 船體의 受風面積과 크게 関係가 있는 問題로 향후 研究檢討되어야 할 것으로 생각된다.

附 錄

數式에 對한 注

$$\text{注1)} \quad T \frac{d\dot{\phi}}{dt} + \dot{\phi} = K \cdot \frac{\delta_o}{t_1} \cdot t$$

$$\dot{\phi}(t) = \frac{K \cdot \delta_o}{t_1 T} \cdot \left\{ \frac{1}{(1/T + s)^2} \right\} = \frac{K \cdot \delta_o}{t_1 T} (T^2 e^{-\frac{t}{T}} - T^2 + Tt) = \frac{K \cdot \delta_o}{t_1} (Te^{-\frac{t}{T}} - T + t)$$

$$\therefore \phi(t) = \frac{K \cdot \delta_o}{t_1} \left\{ \frac{t^2}{2} - Tt + T^2(1 - e^{-\frac{t}{T}}) \right\}$$

$$\text{注2)} \quad e_i(t) = \frac{\delta_o}{t_1} \cdot t \cdot U(t) - \frac{\delta_o}{t_1} \cdot t \cdot u(t-t_1)$$

$$\therefore \phi(t) = \frac{K \cdot \delta_o}{t_1} \left\{ \frac{t^2}{2} - Tt + T^2(1 - e^{-\frac{t}{T}}) - \frac{K \cdot \delta_o}{t_1} \left\{ \frac{(t-t_1)^2}{2} - T(t-t_1) + T^2(1 - e^{-\frac{t-t_1}{T}}) \right\} \right\}$$

$$= K \cdot \delta_o \left\{ t - (T + \frac{t_1}{2}) + \frac{T^2}{t_1} (e^{-\frac{t-t_1}{T}} - 1) e^{-\frac{t}{T}} \right\}$$

參 考 文 献

- 藤田齊：“船の 方向安定性について”，日本造船學會誌，514號（1972.4），p. 26~27.
- 野本謙作：“船の 操縦性”，日本造船協會 操縦性シンポジウム（1964.6），p. 8~22.
- 山内保文：“操縦性に 關する 模型試験と 最近の 成果”，日本造船協會操縦性シンポジウム（1964.6），p. 40.
- 藤井齊：“操縦性試験法”，日本造船協會操縦性シンポジウム（1970.11），p. 1~39.
- 野本謙作：“操縦性”，日本造船協會操縦性シンポジウム（1970.6），p. 1~43.
- 三光汽船：“巨大船の操船上 の問題點”（1970.6），p. 1~35.
- 日本海難防止協會：“超大型船の 操船の 手引き”（1970），p. 25~35.
- 元良誠三：“針路不安定な 船の特質”，日本造船協會操縦性シンポジウム（1970.11），p. 50.
- 藤野正隆：“船體運動力學”，共立出版株式會社，東京（1956.1），p1~19.
- 岩井聰：“操船論”，海文堂 東京（1966.4），p. 33~36.
- 大串雅信：“理論船舶工學”，海文堂 東京（1971.3），p. 238.

11. 河田伸一：“サーボおよび自動操縦操作”共立出版株式會社，東京（1966.5），p. 153～163.
12. 川元春夫：海上衝突豫防法の實務的解説，成山堂 東京（1971.7），p. 41.
13. 長澤彰三：“衝突の實態”，日本航海學會誌，41號(1969)，p. 7.
14. 杉原意義：“理論運用學(船體運動編)”，海文當，東京，(1966.4) p. 86～4) p. 86～116.
15. 日本海事六法，“海事六法”(船舶安全法，船舶設備規程 第三編 第二算 百三十七條五) 海文當 東京
編纂委員會 (1971)，p. 124.
16. Philip Mandel : Ship Maneuvering and Control(P. N. A)The Society of Naval Architects and Marine
Engineers, New York(1976), p. 463～485.

